

توزیع تنش اطراف تونل‌های بیضی شکل به روش استیونسون

مهدی زمانی* (استادیار)

مهدی عالی‌نی (کارشناس ارشد)

دانشکده‌ی عمران، دانشگاه پاسوچ

مهمشنسی، عمران، شریف، (اصستان ۱۳۹۶)، ۱۳، ۴۱-۴۰، (پادشاهت فقیه)، دوری ۲ - ۳، شماره ۲ / ۳، ص.

در پژوهش حاضر، از توابع پتانسیل مختلط استیونسون برای تنش در محیط اطراف حفره بیضی شکل در داخل صفحه‌ی فازی کشسان استفاده شده است. توابع پتانسیل مذکور برای تونل‌های طولانی و با فرض کرنش صفحه‌یی قابل استفاده هستند. ضرائب توابع پتانسیل با توجه به شرایط مرزی و فرضیات مسئله به دست آمدند و سپس با بهکارگیری مشتقات متوالی و جزء به جزء توابع مرتبط، تنش‌های محوری و دوممحوری برای حل مسائل مربوط استفاده شدند. از شرایط تنش‌های برجای یکمحوری و دوممحوری برای حل مسائل مربوط استفاده شده است. با استفاده از نگاشت همدیس، منطقه‌ی اطراف تونل بیضی شکل به قلمرو اطراف تونل دایره‌یی شکل تبدیل یافت. نتایج به دست آمده از تنش‌های محوری و شعاعی، هماهنگی مناسب با روش و مدل ارائه شده‌ی ماش خلپیشویلی بر روی سطح تونل دارد.

واژگان کلیدی: توابع پتانسیل، نگاشت، همدیس، کشسان، هارمونیک،
بی‌هارمونیک.

mahdi@mail.yu.ac.ir
m.alemi6687@gmail.com

۱. مقدمه

منتقل یا تصویرمی‌شوند که به طور مفصل و مشروح در برخی منابع شرح داده شده است.^[۱۷، ۱۶]

بیشتر راه حل‌های ذکر شده برای تونل‌های با مقاطع هندسی منظم و ساده شده تحت میدان تنش دوممحوری بوده است. مقاطع مذکور در بیشتر موارد، دو محور تقاضان یا دستکم یک محور تقاضان دارند. در پژوهش حاضر، یک روش تحلیلی مبتنی بر توابع پتانسیل مختلط و برای تونل‌های بیضوی ارائه شده است. برای مقاطع بیضی شکل نوع تحلیل بر مبنای دستکم ۳ روش است: ۱. روش استیونسون، ۲. روش ماش خلپیشویلی، ۳. روش استفاده از سری چندجمله‌یی. روش‌های مذکور به صورت کلی در برخی منابع^[۲۱-۱۶، ۱۳] جهت تعیین تنش محیطی با مماسی در سطح تونل به کار می‌روند. در نوشтар حاضر، فرمول‌سازی تنش اطراف تونل‌های بیضوی به صورت مرحله‌یی و جزئی و برای تمام مؤلفه‌های آن بسط داده و تعیین شده است. بدینهی است حل‌های تحلیلی روش‌های مذکور در جزئیات با یکدیگر یکسان نیستند، ولی همگی شرایط مرزی در سطح تونل و داخل تونل همگن اطراف تونل در مرز بی‌نهایت را تصدق و تأیید می‌کنند، که نشان‌گر تعدد و گوناگونی معادلاتی است که در معادله‌ی بی‌هارمونیک و با درنظر گرفتن شرایط مرزی صدق می‌کنند.

خوانندگان علاقه‌مند به روش‌های تحلیلی در موارد ذکر شده می‌توانند برای مقاطع یا تونل‌های دایره‌یی و بیضی شکل علاوه بر منابع^[۲۱-۴] به منابع^[۲۲-۲۱]، برای تونل‌های مثلثی، مربعی و مستطیلی به منابع^[۲۴، ۲۳، ۱۹، ۱۶] و برای تونل‌های سه‌می‌شکل و غیردایره‌یی در انواع مختلف به منابع مراجعه کنند.^[۳۶، ۳۵]

نzd مهندسان مکانیک سنگ، روش‌های تحلیلی در تعیین میزان تنش و تعییر شکل کشسان اطراف تونل، همیشه یک روش اساسی و بنیادی برای طراحی تونل‌های مختلف بوده است. در شوری کشسانی دو بعدی برای اجرام همگن و همسان‌گرد، موقعی که از تغییرات نیروهای بدنی‌یی یا حجمی صرف‌نظر شود، شرایط یکسان تنش برای دو حالت تنش صفحه‌یی و کرنش صفحه‌یی به دست می‌آید.^[۱] بنابراین توزیع کشسان تنش اطراف یک تونل عمیق را می‌توان با توزیع تنش در یک صفحه‌ی فلزی با سوراخ شیشه‌ی به تونل از نظر شکل و تحت شرایط مرزی یکسان که بر لبه‌های صفحه اعمال می‌شود و نیروی بدنی‌یی صفر، توزیع تابع بی‌هارمونیک تخمین زد. قدیمی‌ترین حل برای تعیین تنش اطراف سوراخ دایره‌یی در یک صفحه‌ی بی‌نهایت در سال‌های ۱۹۵۲ و ۱۹۶۰ ارائه شده است.^[۲]

همه‌ترین فعالیت‌های پژوهشی در زمینه‌ی مذکور بر روی تعیین توزیع تنش، تمرکز تنش، تعییر شکل و طراحی تونل‌های دایره‌یی بوده است که ادبیات و پیشینه‌ی فراوانی در مورد آن وجود دارد.^[۱۵-۴] برای تحلیل تنش اطراف تونل با استفاده از توابع پتانسیل مختلط، ابتدا از روش انتقال با نگاشت همدیس برای تبدیل مقطع تونل به مقطع ساده‌تر یا دایره‌یی استفاده می‌شود. در نگاشت مذکور، نقاط بیرونی و اطراف تونل با استفاده از انتقال یک‌به‌یک به نقاط بیرونی یا درونی مقطع دایره‌یی

* نویسنده مسئله تاریخ: دریافت ۲۶/۱۰/۱۳۹۴، اصلاحیه ۶/۱، پذیرش ۱۹/۳/۱۳۹۵.

۲. فرمول سازی مسئله

هندسی تونل را توسط انتقال یا تصویرسازی یک به یک به شکل ساده‌ی دایره تبدیل کرد. انتقال موردنظر به نگاشت همدیس معروف است و در آن زوایای بین خطوط و منحنی‌های مرتبط پیشین و پس از انتقال ثابت می‌ماند. طبق نظریه‌ی ریمان، هر منحنی بسته‌ی پیوسته را می‌توان با استفاده از نگاشت همدیس به دایره تبدیل کرد. همچنین محیط اطراف تونل را می‌توان به محیط بیرونی یا داخلی دایره‌ی به شعاع واحد و توسط انتقال یک به یک تصویر کرد. تابع انتقال $\zeta = w(z)$ که محیط اطراف تونل بیضی شکل را در فضای مختصات z را به محیط بیرونی دایره‌ی به شعاع واحد در فضای مختصات w وصل می‌کند و توسط استیونسون، ارائه شده است.^[1]

به صورت معادله ۹ است:

$$z = w(\zeta) = c \cosh \zeta \quad (9)$$

که در آن، c مقدار ثابت و به قطر تونل بستگی دارد و $\zeta = \xi + i\eta$. مقادیر x و y نقاط محیطی تونل بیضی‌شکل توسط بسط معادله ۹ و طبق روابط ۱۰ به دست می‌آیند:

$$x = c \cosh \xi \cos \eta, \quad y = c \sinh \xi \sin \eta \quad (10)$$

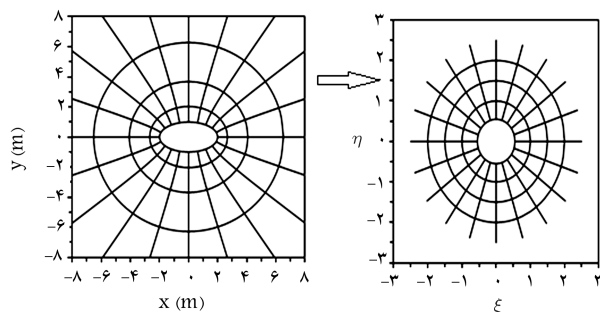
اگر نیم قطرهای بزرگ و کوچک تونل بیضی a و b باشند، پارامتر c و ξ از روابط $a = 2m$ و $b = c \sinh \xi$ و $a = c \cosh \xi$ به دست می‌آیند. به عنوان مثال برای $a = 2m$ و $b = 1m$ (تونل بیضی‌شکل به ابعاد قطر ۴ متر و ارتفاع ۲ متر) $c = a^2 + b^2 = 5m$ و $\xi = \ln \sqrt{3} = 0.594^\circ$ هستند. نگاشت همدیس تونل فوق در شکل ۱ مشاهده می‌شود. برای توابع پتانسیل مختلط $(z)\psi$ و $(z)\chi$ ، استیونسون معادلات ۱۱ را ارائه کرده است:

$$\begin{aligned} \psi(z) &= Ac \cosh \zeta + Bc \sinh \zeta \\ \chi(z) &= Cc^2 \zeta + Dc^2 \cosh 2\zeta + Ec^2 \sinh 2\zeta \end{aligned} \quad (11)$$

ارتباط بین تنش‌های محوری و برشی در صفحه‌ی z و صفحه‌ی ζ به صورت روابط ۱۲ بیان می‌شود:

$$\begin{aligned} \sigma_\xi + \sigma_\eta &= \sigma_x + \sigma_y \\ \sigma_\eta - \sigma_\xi + 2i\tau_{xy} &= e^{2i\alpha} (\sigma_y - \sigma_x + 2i\tau_{xy}) \end{aligned} \quad (12)$$

که در آن، α زاویه‌ی بین خط مماس بر منحنی دارای η ثابت با محور x و در نقاط انتقال است. معادلات ۱۲، با توجه به دوران محورهای تنش در دو صفحه‌ی z و ζ تحت زاویه‌ی α به دست می‌آیند. توسط استفاده از مشتقات درجه دو تابع ایری



شکل ۱. نگاشت همدیس برای تونل با مقطع بیضی شکل.

توزیع دو بعدی تنش در یک صفحه‌ی فازی سوراخ دار و محیط کشسان و همگن تحت شرایط میدان بارگذاری یک محوره و دومحوره را می‌توان با استفاده از رابطه‌ی ۱ (تابع بی‌هارمونیک) تعیین کرد که با به کارگیری معادلات تعادل، معادلات سازگاری، معادلات تنش کرنش و استفاده از تابع ایری φ به دست می‌آید:

$$\nabla^2 \varphi = \frac{\partial^2 \varphi}{\partial x^2} + \frac{\partial^2 \varphi}{\partial y^2} + \frac{\partial^2 \varphi}{\partial y^2} = \nabla^2 (\nabla^2 \varphi) = 0 \quad (1)$$

تشهای محوری و برشی در صفحه‌ی مذکور توسط به کارگیری مشتق دوم تابع φ به دست می‌آیند (روابط ۲):

$$\sigma_{xx} = \frac{\partial^2 \varphi}{\partial y^2}, \quad \sigma_{yy} = \frac{\partial^2 \varphi}{\partial x^2}, \quad \tau_{xy} = -\frac{\partial^2 \varphi}{\partial x \partial y} \quad (2)$$

با استفاده از قانون زنجیر می‌توان رابطه‌ی ۳ را نوشت:

$$\frac{\partial}{\partial x} = \frac{\partial}{\partial z} + \frac{\partial}{\partial \bar{z}}, \quad \frac{\partial}{\partial y} = i \left(\frac{\partial}{\partial z} - \frac{\partial}{\partial \bar{z}} \right) \quad (3)$$

مشتق دوم بر حسب x را با استفاده از معادلات ذکر شده، می‌توان مطابق رابطه‌ی ۴ نوشت:

$$\begin{aligned} \frac{\partial^2}{\partial x^2} &= \frac{\partial}{\partial x} \left(\frac{\partial}{\partial x} \right) = \left(\frac{\partial}{\partial z} + \frac{\partial}{\partial \bar{z}} \right) \left(\frac{\partial}{\partial z} + \frac{\partial}{\partial \bar{z}} \right) = \frac{\partial^2}{\partial z^2} \\ &\quad + \frac{\partial^2}{\partial \bar{z}^2} + 2 \frac{\partial^2}{\partial z \partial \bar{z}} \end{aligned} \quad (4)$$

به روش مشابه، مشتق دوم نسبت به y طبق معادله ۵ تعیین می‌شود:

$$\frac{\partial^2}{\partial y^2} = -\frac{\partial^2}{\partial z^2} - \frac{\partial^2}{\partial \bar{z}^2} - 2 \frac{\partial^2}{\partial z \partial \bar{z}} \quad (5)$$

از جمع دو معادله ۴ و ۵، برای تابع لابلس می‌توان رابطه‌ی ۶ را نوشت:

$$\nabla^2 = \frac{\partial^2}{\partial x^2} + \frac{\partial^2}{\partial y^2} = 4 \frac{\partial^2}{\partial z \partial \bar{z}} \quad (6)$$

با استفاده از به کارگیری معادله‌ی ۶ در معادله‌ی بی‌هارمونیک (رابطه‌ی ۱)، رابطه‌ی ۷ به دست می‌آید:

$$\nabla^4 = \nabla^2 (\nabla^2) = 4 \frac{\partial^2}{\partial z \partial \bar{z}} \left(4 \frac{\partial^2}{\partial z \partial \bar{z}} \right) = 16 \frac{\partial^4}{\partial z^2 \partial \bar{z}^2} \quad (7)$$

توضیح حل معادله‌ی دیفرانسیل با مشتقات جزئی (رابطه‌ی ۷) بر حسب تابع φ ، تابع پتانسیل مختلط $(z)\psi$ و $(z)\chi$ به دست می‌آید (رابطه‌ی ۸):

$$\varphi = Re[\bar{z}\psi(z) + \chi(z)] \quad (8)$$

که در آن، φ تابع پتانسیل مختلط، \bar{z} مزدوج متغیر مختلط z و Re مقدار حقیقی آن است. جایی که $\bar{z} = x - iy$, $z = x + iy$, x و y اعداد حقیقی و i عدد موهومی واحد هستند. به علت مشابهت می‌توان تنش اطراف یک تونل طولانی را توزیع تنش در یک صفحه‌ی فازی کشسان با وضعیت کرنش دو بعدی به دست آورد. بنابراین با تعیین توابع پتانسیل مختلط $(z)\psi$ و $(z)\chi$ و به کارگیری شرایط مرزی و شکل هندسی تونل می‌توان توزیع تنش اطراف تونل‌های مختلط را به دست آورد و سپس با توجه به آن، نوع سیستم نگهداری تونل را طراحی کرد. برای این کار باید ابتدا شکل

فشاری مثبت و تنش کششی منفی در نظر گرفته می‌شود. بنابراین از معادلات ۱۶
می‌توان روابط ۱۷ را به دست آورد:

$$\sigma_x + \sigma_y = p, \quad \sigma_y - \sigma_x + 2i\tau_{xy} = -pe^{-i\beta} \quad (17)$$

با جایگذاری شرایط معادلات ۱۷ در سیستم معادلات ۱۳، شرایط مرزی
معادلات ۱۸ برای تابع پتانسیل مختلط به دست می‌آید:

$$\begin{cases} \operatorname{Re}\psi'(z) = p \\ 2[z'\psi''(z) + \chi''(z)] = -pe^{-i\beta} \end{cases} \quad (18)$$

برای محاسبه $(z)\psi'$ از معادله اول معادلات ۱۱، توسط قانون زنجیر مطابق
معادله‌های ۱۹ و ۲۰ مشتق‌گیری می‌شود:

$$\begin{aligned} \operatorname{Re}\psi'(z) &= \operatorname{Re}\frac{\partial\psi}{\partial\zeta} \times \frac{\partial\zeta}{\partial z} = \operatorname{Re}\frac{\psi'_\zeta}{z'_\zeta} \\ \frac{Ac\sinh\zeta + Bc\cosh\zeta}{c\sinh\zeta} &= A + B\coth\zeta \end{aligned} \quad (19)$$

$$at \zeta \Rightarrow \infty \quad \operatorname{Re}\psi'(z) = A + B = A + B_1 + iB_2, \quad (20)$$

$$\operatorname{Re}\psi'(z) = \operatorname{Re}(A + B_1 + iB_2) = A + B_1 = p$$

به روش مشابه برای تصدیق معادله دوم از معادلات ۱۸ ناشی از شرط دوم
مرزی، با به کار گیری مشتق دوم از تابع پتانسیل مختلط، ارتباط بین پارامترهای
موردنظر مطابق روابط ۲۱ الی ۲۳ به دست می‌آید:

$$\psi''_z = \frac{\psi''_\zeta z'_\zeta - \psi'_\zeta z''_\zeta}{z'^2_\zeta}, z' = c\sin h\zeta, z'' = c\cos h\zeta \quad (21)$$

$$\operatorname{Re}\psi''_z = \frac{1}{c^2\sinh^2\zeta} \left[(Ac\cosh\zeta + Bc\sinh\zeta)c\sin h\zeta \right. \\ \left. - (Ac\sinh\zeta + Bc\cosh\zeta)c\cos h\zeta \right] \quad (22)$$

$$\frac{B}{c\sin h\zeta} [\sin h\zeta - \cos h\zeta] = \frac{B}{c\sin h\zeta} \quad (23)$$

$$\operatorname{Re}\psi''_z = -B/\cosh\zeta/\sinh\zeta$$

مشتق دوم تابع پتانسیل مختلط $(z)\chi$ به روش مشابه مشتقات $(z)\psi$ طبق
معادلات ۲۴ محاسبه می‌شوند:

$$\begin{aligned} \chi''_z &= \frac{\chi''_\zeta z'_\zeta - \chi'_\zeta z''_\zeta}{z'^2_\zeta} = \frac{1}{c^2\sinh^2\zeta} \\ &\times [(Dc^r\cosh 2\zeta + Ec^r\sinh 2\zeta)c\sin h\zeta \\ &- \frac{1}{4}(Cc^r + 2Dc^r\sinh 2\zeta + 2Ec^r\cosh 2\zeta)c\cos h\zeta] \\ &= \frac{1}{\sinh^2\zeta} [D\cosh 2\zeta + E\sinh 2\zeta - \frac{1}{4}C\coth\zeta \\ &- \frac{1}{2}D\sinh 2\zeta\coth\zeta - \frac{E}{2}\cosh 2\zeta\coth\zeta] \end{aligned} \quad (24)$$

با جایگزین کردن $\operatorname{Re}\psi''_z$ و χ''_z در معادله دوم معادلات ۱۸، می‌توان معادلات

(معادلات ۲) و به کار گیری معادله ۸، وضعیت تنش در هر نقطه در اطراف توپل و
در صفحه z از معادلات ۱۳ به دست می‌آید:

$$\begin{cases} \sigma_x + \sigma_y = \operatorname{Re}\psi'(z) \\ \sigma_y - \sigma_x + 2i\tau_{xy} = 2[\bar{z}\psi''(z) + \chi''(z)] \end{cases} \quad (13)$$

با جایگذاری معادلات ۱۳ در معادلات ۱۲، وضعیت تنش در اطراف توپل و
در صفحه z طبق معادلات ۱۴ تعیین می‌شوند:

$$\begin{cases} \sigma_\xi + \sigma_\eta = \operatorname{Re}\psi'(z) \\ \sigma_\eta - \sigma_\xi + 2i\sigma_{\xi\eta} = 2e^{ri\alpha}[\bar{z}\psi''(z) + \chi''(z)] \end{cases} \quad (14)$$

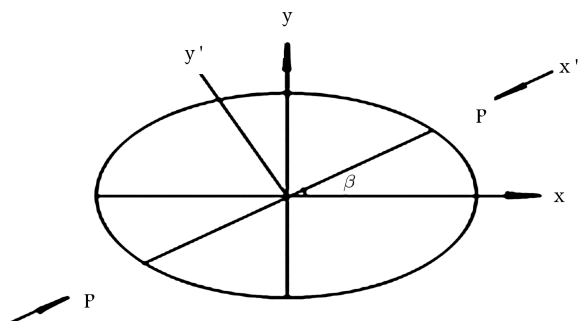
جایی که زاویه α توسط به کار گیری تابع نگاشت $(\zeta)w = z$ در مختصات
انتقال توسط معادله ۱۵ به دست می‌آید.^[۲]

$$e^{ri\alpha} = \frac{w'(\zeta)}{w'(\zeta)} \quad (15)$$

به علت آنکه $\zeta = c\cosh\zeta$ است، جمله‌ای $Ac\cosh\zeta$ در تابع $(z)\psi$ در معادله ۱۱
تبدیل به Az می‌شود و آن در تابع تنش معادله ۱۲، $\operatorname{Re}Az\bar{z}$ ، λ است. اگر
عدد موهومنی باشد، صفر می‌شود و چون باید غیرصفر باشد، بنابراین A باید عدد
حقیقی باشد. همچنین پارامتر C در معادلات ۱۱ باید عدد حقیقی باشد، زیرا اگر از
تابع پتانسیل مختلط $(z)\psi$ و $(z)\chi$ در معادله کشناور و حول یک دایره فرضی
در فاصله 0° و 2π انتگرال گیری شود، به دلیل طبیعت تابع هیپربولیک باید صفر
شوند. در غیر این صورت برای مقادیر موهومنی C ، میسر ذکر شده نمی‌شود.^[۲] دیگر
پارامترهای معادلات ۱۱، B ، D ، E اعداد مختلط هستند که توسط به کار گیری
شرایط مرزی توپل و وضعیت تنش در مختصات z طبق محاسبات مرتبه انجام
می‌شوند. اگر تنش تک محوری و نشاری بر جا (p) در نقطه مکرر توپل و در
امتداد x' که زاویه β نسبت به محور x می‌سازد، مطابق شکل ۲ در نظر گرفته
شود، توسط دوران محورهای تنش از مختصات xy به مختصات $x'y'$ می‌توان
معادله ۱۶ را نوشت:

$$\begin{cases} \sigma_{x'} + \sigma_{y'} = \sigma_x + \sigma_y \\ \sigma_{y'} - \sigma_{x'} + 2i\tau_{x'y'} = e^{ri\beta}(\sigma_y - \sigma_x - 2i\tau_{xy}) \end{cases} \quad (16)$$

جایی که $\sigma_{x'} = p$ و $\sigma_{y'} = \tau_{x'y'} = 0$ قابل ذکر است که برخلاف
علامت گذاری رایج در مقاومت مصالح و تئوری کشسانی، در مکانیک سنگ، تنش



شکل ۲. وضعیت تنش بر جای P نسبت به محور توپل.

۲۵ الی ۲۷ را نوشت:

با توجه به آنکه $1 = \operatorname{Re}(\coth \zeta \tanh \bar{\zeta})$, می‌توان نوشت:

$$\begin{aligned} 1 &\Rightarrow (\frac{\bar{B}}{\gamma} + \frac{B}{\gamma} \operatorname{csch}' \zeta) \cosh \bar{\zeta} \\ 2+6 &\Rightarrow -2D \frac{1+2 \sin h' \zeta}{\sinh \zeta} + 2D \frac{\cosh' \zeta}{\sinh \zeta} \\ -4D \sinh \zeta + 2D \sinh \zeta &= -4D \sinh \zeta \end{aligned}$$

$$4+8 \Rightarrow -2E \cosh \zeta$$

$$\begin{aligned} 5+7 &\Rightarrow \frac{1}{\gamma} C \cosh \zeta \operatorname{csch}' \zeta + E \operatorname{csch} \zeta \coth \zeta \\ &= \frac{1}{\gamma} C \frac{\cosh \zeta}{\sinh h' \zeta} + E \operatorname{csch} \zeta \coth \zeta = (\frac{1}{\gamma} C + E) \\ &\operatorname{csch} \zeta \coth \zeta \end{aligned}$$

با جایگذاری روابط فوق در معادله‌ی ۳۲، مقدار $[II] \times 2$ از رابطه‌ی ۳۲ به دست می‌آید:

$$\begin{aligned} &\{(2A + B \coth \zeta) \sinh \bar{\zeta} (\bar{B} + B \operatorname{csch}' \zeta) \cosh \bar{\zeta} \\ &+ (C + 2E) \operatorname{csch} \zeta \coth \zeta - 4D \sinh \zeta - 4E \cosh \zeta\} \quad (33) \end{aligned}$$

در دیواره‌ی تولی $\zeta = \bar{\zeta}$ است، اگر این مقادیر در معادله‌ی ۳۲ در $\bar{\zeta}$ و ζ قرار گرفته شوند و جملات $(\zeta - \bar{\zeta})$ و $\sinh(\zeta - \bar{\zeta})$ در آن بسط داده شوند، می‌توان رابطه‌ی ۳۴ را نوشت:

$$\begin{aligned} &(2A + B \coth \zeta) (\sinh 2\zeta \cdot \cosh \zeta - \cosh 2\zeta \cdot \sinh \zeta) \\ &(\bar{B} + B \operatorname{csch}' \zeta) (\cosh 2\zeta \cdot \cosh \zeta - \sinh 2\zeta \cdot \sinh \zeta) \\ &+ (C + 2E) \operatorname{csch} \zeta \coth \zeta - 4D \sinh \zeta - 4E \cosh \zeta = 0 \quad (34) \end{aligned}$$

در جداره‌ی تولی معادله‌ی ۳۴ برابر صفر خواهد بود، به دلیل آنکه تشن شعاعی و برشی اعمال بر سطح تولی صفر است (معادله‌ی ۳۵):

$$\begin{aligned} &2A \sinh 2\zeta \cdot \cosh \zeta - 2A \cosh 2\zeta \cdot \sinh \zeta \\ &+ B \coth \zeta \sinh 2\zeta \cdot \cosh \zeta - B \coth \zeta \cosh 2\zeta \cdot \sinh \zeta \\ &+ \bar{B} \cosh 2\zeta \cdot \cosh \zeta - \bar{B} \sinh 2\zeta \cdot \sinh \zeta + B \operatorname{csch}' \zeta \\ &\times \cosh 2\zeta \cdot \cosh \zeta - B \operatorname{csch}' \zeta \sinh 2\zeta \cdot \sinh \zeta (C + 2E) \\ &\times \operatorname{csch} \zeta \coth \zeta - 4D \sinh \zeta - 4E \cosh \zeta = 0. \quad (35) \end{aligned}$$

پس از فاکتوریگیری جملات معادله‌ی ۳۵ نسبت به $\cosh \zeta$ و $\sinh \zeta$ ، عبارت $C + 2E$ حاصل می‌شود:

$$\begin{aligned} &(2A \sinh 2\zeta - B \cosh 2\zeta + \bar{B} \cosh 2\zeta - 4E) \cosh \zeta \\ &-(2A \cosh 2\zeta + \bar{B} \sinh 2\zeta + 4D - B \sinh 2\zeta) \sinh \zeta \\ &+ (C + 2E + B \cosh 2\zeta) \operatorname{coth} \zeta \operatorname{csch} \zeta = 0. \quad (36) \end{aligned}$$

با توجه به معادلات ۳۶، مقادیر داخل پرانتز برابر صفر خواهند بود. با افزودن معادلات ناشی از شرایط مرزی معادلات ۲۱ و ۳۱ به آن، سیستم معادلات ۳۷

$$\begin{aligned} &2 \left\{ -\frac{B}{\gamma} \frac{\cosh \bar{\zeta}}{\sinh h' \zeta} + \frac{1}{\sinh h' \zeta} [D \cosh 2\zeta + E \sinh 2\zeta \right. \\ &\left. - \frac{1}{\gamma} C \coth \zeta - \frac{1}{\gamma} D \sinh 2\zeta \coth \zeta - \frac{E}{\gamma} \cosh 2\zeta \coth \zeta] \right\} \\ &- p e^{-\gamma i \beta} \quad (25) \end{aligned}$$

$$at \quad \xi \Rightarrow \infty \frac{\cosh \bar{\zeta}}{\sinh h' \zeta} = 0, \frac{\sinh \zeta}{\sinh h' \zeta} = 0, \coth \zeta = 1 \quad (26)$$

$$\begin{aligned} &- p e^{-\gamma i \beta} = 2 \left[D \frac{\cosh' \zeta + \sin h' \zeta}{\sinh h' \zeta} + E \frac{\sinh \zeta \cosh \zeta}{\sinh h' \zeta} \right. \\ &\left. - \frac{D}{\gamma} \frac{\sinh 2\zeta}{\sinh h' \zeta} - \frac{E}{\gamma} \cosh 2\zeta \right] = 2[D(\coth' \zeta + 1) \\ &+ 2E \coth \zeta - D \coth \zeta - \frac{E}{\gamma}(\coth' \zeta + 1)] \quad (27) \end{aligned}$$

برای $0 \Rightarrow \xi$ معادله‌ی ۲۷ به صورت معادله‌ی ۲۸ ساده می‌شود:

$$2(2D + 2E - D - E) = 2(D + E) = p e^{-\gamma i \beta} \quad (28)$$

اگر در معادلات ۱۴، معادله‌ی اول از معادله‌ی دوم کسر شود، آنگاه می‌توان معادله‌ی ۲۹ را نوشت:

$$2(\sigma_\xi - i\tau_{\xi\eta}) = 4 \operatorname{Re} \psi'(z) - 2e^{\gamma i \alpha} [\bar{z}\psi''(z) + \chi''(z)] \quad (29)$$

با جایگذاری مشتقات اول و دوم توابع پتانسیل در معادله‌ی ۲۹، می‌توان معادلات ۳۰ الی ۳۲ را نوشت:

$$\begin{aligned} &2(\sigma_\xi - i\tau_{\xi\eta}) = A + B \coth \zeta - \frac{1}{\sinh \zeta} \left\{ -\frac{B}{\gamma} \frac{\cosh \bar{\zeta}}{\sinh h' \zeta} \right. \\ &\left. + \frac{1}{\sinh h' \zeta} [D \cosh 2\zeta + E \sinh 2\zeta - \frac{1}{\gamma} C \coth \zeta \right. \\ &\left. - \frac{1}{\gamma} D \sinh 2\zeta \coth \zeta - \frac{1}{\gamma} E \cosh 2\zeta \coth \zeta]\right\} \quad (30) \end{aligned}$$

$$\begin{aligned} &= \operatorname{csch} \bar{\zeta} \left\{ (A \sinh \bar{\zeta} + \frac{B + \bar{B}}{\gamma} \coth \zeta \sinh \bar{\zeta}) \right. \\ &\left. + \frac{B}{\gamma} \cosh \bar{\zeta} \operatorname{csch}' \zeta - \frac{1}{\sinh \zeta} [II]\right\} \quad (31) \end{aligned}$$

$$\begin{aligned} &= \operatorname{csch} \bar{\zeta} \left\{ (A + \frac{B + \bar{B}}{\gamma} \coth \zeta) \sinh \bar{\zeta} + \frac{B}{\gamma} \cosh \bar{\zeta} \operatorname{csch}' \zeta \right. \\ &\left. - 2D \frac{\cosh 2\zeta}{\sinh \zeta} - 4E \cosh \zeta + \frac{1}{\gamma} C \cosh \zeta \operatorname{csch}' \zeta \right. \\ &\left. + 2D \cosh \zeta \coth \zeta + E \operatorname{csch} \zeta \coth \zeta + 2E \cosh \zeta\right\} \quad (32) \end{aligned}$$

به طوری که در رابطه‌ی ۳۲، با تفکیک‌سازی جملات به ترتیب در داخل آکولاد می‌توان نوشت:

$$\begin{aligned} 1 &\Rightarrow (A + \frac{B}{\gamma} \coth \zeta) \sinh \bar{\zeta} \\ 2 &\Rightarrow \frac{\bar{B}}{\gamma} \coth \zeta \sinh \bar{\zeta} + \frac{\bar{B}}{\gamma} \cosh \bar{\zeta} \operatorname{csch}' \zeta \\ &= (\frac{\bar{B}}{\gamma} \coth \zeta \tanh \bar{\zeta} + \frac{\bar{B}}{\gamma} \operatorname{csch}' \zeta) \cosh \bar{\zeta} \end{aligned}$$

حاصل می‌شود:

همچنین مقادیر M_1 و M_2 از روابط ۴۳ به دست می‌آیند:

$$\begin{aligned} M_1 &= pc \left[\frac{1}{\gamma} e^{\gamma \xi} \cos 2\beta (\cosh 2\xi - \cos 2\eta) \right], \\ M_2 &= pc [1 - (\cos 2\beta + i \sin 2\beta)] [\cosh \xi \sinh \xi \\ &\quad (\cos' \eta + \sin' \eta) + (-\frac{1}{\gamma} \cosh' \xi \sin 2\eta + \frac{1}{\gamma} \sinh' \xi \sin 2\eta)] \\ &= \frac{pc}{\gamma} (1 - e^{\gamma \xi} \cos 2\beta - ie^{\gamma \xi} \sin 2\beta) (\sinh 2\xi - i \sin 2\eta) \end{aligned} \quad (43)$$

مقدار حقیقی M_2 نیز از رابطه ۴۴ به دست می‌آید:

$$ReM_2 = \frac{pc}{\gamma} (\sinh 2\xi - e^{\gamma \xi} \cos 2\beta \sinh 2\xi - e^{\gamma \xi} \sin 2\beta \sin 2\eta) \quad (44)$$

مقدار با استفاده از معادلات ۴۳ و ۴۴ و معادله ۴۵ به دست می‌آید:

$$\begin{aligned} ReM &= \frac{pc}{\gamma} (e^{\gamma \xi} \cos 2\beta \cosh 2\xi - e^{\gamma \xi} \cos 2\beta \cos 2\eta \\ &\quad + \sinh 2\xi - e^{\gamma \xi} \cos 2\beta \sinh 2\xi - e^{\gamma \xi} \sin 2\beta \sin 2\eta) \end{aligned} \quad (45)$$

با استفاده از تساوی:

$$e^{\gamma \xi} \cos 2\beta (\cosh 2\xi - \sinh 2\xi) = e^{(\xi - \gamma)} \cos 2\beta$$

و ساده‌سازی و فاکتورگیری از معادله ۴۵، می‌توان معادله ۴۶ را نوشت:

$$ReM = \frac{pc}{\gamma} [e^{(\xi - \gamma)} \cos 2\beta + \sinh 2\xi - e^{\gamma \xi} \cos 2(\beta - \eta)] \quad (46)$$

با جایگذاری مقادیر M و N در معادله ۴۰، مجموع تنش‌های محوری در صفحه‌ی ζ با استفاده از معادله ۴۷ به دست می‌آید:

$$\sigma_\xi + \sigma_\eta = \frac{p[e^{(\xi - \gamma)} \cos 2\beta + \sinh 2\xi - e^{\gamma \xi} \cos 2(\beta - \eta)]}{\cosh 2\xi - \cos 2\eta} = R \quad (47)$$

با قرار دادن مقدار B در معادله ۲۳، برای $\bar{z}\psi_z''$ و استفاده از معادله ۱۵ برای مقدار $e^{\gamma \alpha} \bar{z}\psi_z''$ را می‌توان با استفاده از معادلات ۴۸ محاسبه کرد:

$$\begin{aligned} 2e^{\gamma \alpha} \bar{z}\psi_z'' &= 2 \frac{\sinh \zeta}{\sinh \bar{\zeta}} \cosh \bar{\zeta} \frac{p}{\sinh h' \zeta} \\ &\quad (-1 + e^{(\xi + \gamma \beta)}) = \frac{p \cosh \bar{\zeta}}{2 \sinh \bar{\zeta} \sinh \zeta} \\ &\quad \times \frac{-1 + e^{(\xi + \gamma \beta)}}{\sinh \zeta} \end{aligned} \quad (48)$$

گویا کردن معادله ۴۸، معادله ۴۹ را نتیجه می‌دهد:

$$\begin{aligned} 2e^{\gamma \alpha} \bar{z}\psi_z'' &= \frac{p \cosh \bar{\zeta}}{\cosh 2\xi - \cos 2\eta} \\ &\quad \times \frac{(-1 + e^{\xi + \gamma \beta}) \sinh \bar{\zeta}}{\sinh \zeta \sinh \bar{\zeta}} = \frac{p(-1 + e^{\xi + \gamma \beta})}{(\cosh 2\xi - \cos 2\eta)} \sinh 2\bar{\zeta} \end{aligned} \quad (49)$$

$$2A \sinh 2\xi - 2iB \cosh 2\xi - 4E = 0$$

$$2A \cosh 2\xi - 2iB \sinh 2\xi + 4D = 0$$

$$C + 2E + B \cosh 2\xi = 0$$

$$A + B_1 = p$$

$$D + E = -\frac{p}{\gamma} e^{-\gamma \beta} \quad (47)$$

از حل معادلات اول، دوم و پنجم در سیستم معادلات ۳۷، پارامترهای A و B و سپس با حل بقیه‌ی معادلات (سوم و چهارم) پارامترهای C, D, E و طبق معادلات ۳۸ به دست می‌آیند:

$$A = pe^{\gamma \xi} \cos 2\beta, B = p(1 - e^{\gamma \xi} + e^{\gamma \beta})$$

$$B_1 = p(1 - e^{\gamma \xi} \cos 2\beta), B_2 = p(1 - e^{\gamma \xi} \sin 2\beta)$$

$$C = -p(\cosh 2\xi - \cos 2\beta)$$

$$D = -\frac{1}{\gamma} pe^{\gamma \xi} \cosh 2(\xi + i\beta)$$

$$E = \frac{1}{\gamma} pe^{\gamma \xi} \sinh 2(\xi + i\beta) \quad (48)$$

با جایگذاری پارامترهای معادلات ۳۸ در معادلات ۱۱، معادلات توابع پتانسیل

مختلط (معادلات ۳۹) تعیین می‌شوند:

$$\psi(z) = pc[e^{\gamma \xi} \cos 2\beta \cosh \zeta + (1 - e^{\gamma \xi} + e^{\gamma \beta}) \sinh \zeta]$$

$$\begin{aligned} \chi(z) &= -pe^{\gamma \xi} (\cosh 2\xi - \cos 2\beta) \\ &\quad + \frac{1}{\gamma} e^{\gamma \xi} \cosh 2(\zeta - \xi + i\beta) \end{aligned} \quad (49)$$

با قرار دادن مقادیر پارامترهای A و B برای تابع پتانسیل مختلط $(z)^I \psi$ در معادله ۱۴ می‌توان معادله ۴۰ را نوشت:

$$\begin{aligned} \sigma_\xi + \sigma_\eta &= 4Re\psi'(z) = \frac{4Re\psi'(\zeta)}{c \sinh \zeta} \\ &= p \frac{e^{\gamma \xi} \cos 2\beta \sinh \zeta + (1 - e^{\gamma \xi} + e^{\gamma \beta}) \cosh \zeta}{\sinh \zeta} = \frac{M}{N} \end{aligned} \quad (40)$$

با توجه به آنکه:

$$\sinh \zeta = \sinh \xi \cos \eta + i \cosh \xi \sin \eta$$

$$\cosh \zeta = \cosh \xi \cos \eta + i \sinh \xi \sin \eta$$

$$\sin h' \xi - \cosh h' \xi = -1, \sin h' \xi + \cos h' \xi = \cosh 2\xi$$

معادله ۴۰ پس از گویا کردن، به صورت معادله ۴۱ ساده می‌شود:

$$\begin{aligned} N &= c(\sinh' \xi \cos' \eta + \cosh' \xi \sin' \eta) \\ &= c \left[\frac{1}{\gamma} (\sin h' \xi - \cosh h' \xi) + \frac{1}{\gamma} (\sinh' \xi - \cosh' \xi) \right. \\ &\quad \times \left. \cos 2\eta \right] = \frac{c}{\gamma} (\cosh 2\xi - \cos 2\eta) \end{aligned} \quad (41)$$

صورت کسر معادله ۴۰ (M)، پس از گویا کردن عبارت است از (معادله ۴۲):

$$\begin{aligned} M &= pc[e^{\gamma \xi} \cos 2\beta (\sinh \xi \cos \eta + i \cosh \xi \sin \eta) \\ &\quad + (1 - e^{\gamma \xi} + e^{\gamma \beta}) (\cosh \xi \cos \eta + i \sinh \xi \sin \eta) \\ &\quad \times (\sinh \xi \cos \eta - i \cosh \xi \sin \eta)] = M_1 + M_2 \end{aligned} \quad (42)$$

توسط جدا کردن بخش های حقیقی و موهومی معادله 49 ، می توان معادله 50 را نوشت:

$$\begin{aligned} \cosh 2(\xi - \xi_0 - i\beta) &= \cosh 2[(\xi - \xi_0) + i(\eta - \beta)] \\ \cosh 2(\xi - \xi_0 - i\beta) &= \cosh 2(\xi - \xi_0) \cos 2(\eta - \beta) \\ &\quad + i \sinh 2(\xi - \xi_0) \sin 2(\eta - \beta) \quad (57) \\ \sinh 2(\xi - \xi_0 - i\beta) &= \sinh 2(\xi - \xi_0) \cos 2(\eta - \beta) \\ &\quad + i \cosh 2(\xi - \xi_0) \sin 2(\eta - \beta) \\ 2 \sinh \zeta \sinh \bar{\zeta} &= \cosh 2\xi - \cos 2\eta \\ 2e^{i\alpha} \chi_z'' &= \frac{p}{(\cosh 2\xi - \cos 2\eta)^r} \{ -2e^{i\xi} (\cosh 2\xi \\ &\quad - \cos 2\eta) [\cosh 2(\xi - \xi_0) \cos 2(\eta - \beta) + i \sinh 2(\xi - \xi_0) \\ &\quad \sin 2(\eta - \beta)] + (\sinh 2\xi - i \sinh 2\eta) (\cosh 2\xi_0 - \cos 2\beta) \\ &\quad + e^{i\xi} (\sinh 2\xi - i \sinh 2\eta) [\sinh 2(\xi - \xi_0) \cos 2(\eta - \beta) \\ &\quad + i \cosh 2(\xi - \xi_0) \sin 2(\eta - \beta)] \} = q_1 + iq_2 \quad (58) \end{aligned}$$

همچنین بخش حقیقی و بخش موهومی معادله 58 را می توان به صورت معادلات 59 و 60 نوشت:

$$\begin{aligned} q_1 &= \frac{p}{(\cosh 2\xi - \cos 2\eta)^r} \{ -2e^{i\xi} (\cosh 2\xi - \cos 2\eta) \\ &\quad \times \cosh 2(\xi - \xi_0) \cos 2(\eta - \beta) + \sinh 2\xi (\cosh 2\xi_0 \\ &\quad - \cos 2\beta) + e^{i\xi} [\sinh 2\xi \sinh 2(\xi - \xi_0) \cos 2(\eta - \beta) \\ &\quad + \sin 2\eta \cosh 2(\xi - \xi_0) \sin(2\eta - \beta)] \} \quad (59) \\ q_2 &= \frac{p}{(\cosh 2\xi - \cos 2\eta)^r} \{ -2e^{i\xi} (\cosh 2\xi - \cos 2\eta) \\ &\quad \times \sinh 2(\xi - \xi_0) \sin 2(\eta - \beta) + \sinh 2\eta (\cosh 2\xi_0 \\ &\quad - \cos 2\beta) + e^{i\xi} [\sinh 2\xi \cosh 2(\xi - \xi_0) \sin 2(\eta - \beta) \\ &\quad - \sin 2\eta \times \sinh 2(\xi - \xi_0) \cos(2\eta - \beta)] \} \quad (60) \end{aligned}$$

اکنون با توجه به معادلات به دست آمده، تنش های شعاعی، محیطی و پرشی را در هر نقطه از اطراف تونل بیضی شکل می توان توسط معادلات 61 خلاصه و تعیین کرد:

$$\begin{aligned} \sigma_\xi + \sigma_\eta &= R, \quad \tau_{\xi\eta} = \frac{1}{2}(p_1 + q_1) \\ \sigma_\eta - \sigma_\xi + 2i\tau_{\xi\eta} &= (p_1 + q_1) + i(p_2 + q_2) \\ \sigma_\xi &= \frac{1}{2}(R - p_1 - q_1), \quad \sigma_\eta = \frac{1}{2}(R + p_1 + q_1) \quad (61) \end{aligned}$$

برای امتحان و آزمایش محاسبات ذکر شده، تنش های اعمالی بر جدارهای تونل با جایگذاری ξ برای ξ در معادلات 61 و با استفاده از معادلات 62 به دست می آیند:

$$\begin{aligned} \sigma_\xi(\xi = \xi_0) &= 0, \quad \tau_{\xi\eta}(\xi = \xi_0) = 0 \\ \sigma_\eta(\xi = \xi_0) &= \frac{p}{(\cosh 2\xi_0 - \cos 2\eta)} \\ &\quad [\sinh 2\xi_0 + \cos 2\beta - e^{i\xi} \cos 2(\beta - \eta)] \quad (62) \end{aligned}$$

معادله 58 به دست می آید:

$$\begin{aligned} 2e^{i\alpha} \bar{z} \psi_z'' &= \frac{p}{(\cosh 2\xi - \cos 2\eta)^r} [-1 + e^{i\xi} (\cos 2\beta \\ &\quad + i \sin 2\beta)] [\sinh 2\xi \cos 2\eta - i \cosh 2\xi \sin 2\eta] = p_1 + ip_2 \quad (59) \end{aligned}$$

که در آن مقدار p_1 از رابطه 51 و مقدار p_2 از رابطه 52 به دست می آید:

$$\begin{aligned} p_1 &= \frac{p}{(\cosh 2\xi - \cos 2\eta)^r} [(1 + e^{i\xi} \cos 2\beta) \sinh 2\xi \\ &\quad \cos 2\eta + e^{i\xi} \sin 2\beta \sin 2\eta \cosh 2\xi] \quad (51) \end{aligned}$$

$$\begin{aligned} p_2 &= \frac{p}{(\cosh 2\xi - \cos 2\eta)^r} [(1 - e^{i\xi} \cos 2\beta) \\ &\quad \times \cosh 2\xi \sin 2\eta + e^{i\xi} \sin 2\beta \cos 2\eta \sinh 2\xi] \quad (52) \end{aligned}$$

مشتقات اول تابع پتانسیل مختلط از معادلات 39 با استفاده از قوانین به کار برده در معادلات 20 و 21 طبق روابط 53 محاسبه می شوند:

$$\begin{aligned} \chi_\zeta'' &= -\frac{pc^r}{\varphi} [\cosh 2\xi_0 - \cos 2\beta + e^{i\xi} \sinh 2(\xi - \xi_0 - i\beta)] \\ &= -\frac{pc^r}{\varphi} e^{i\xi} \cosh 2(\xi - \xi_0 - i\beta) \quad (53) \end{aligned}$$

سپس مشتق دوم $(z)\chi(z)$ نسبت به z از روابط 54 و 55 به دست می آید:

$$\begin{aligned} \chi_z'' &= \frac{p}{\varphi \sin h^r \zeta} [-2e^{i\xi} \sinh \zeta \cosh 2(\zeta - \xi_0 - i\beta) \\ &\quad + \cosh \zeta (\cosh 2\xi_0 - \cos 2\beta) + e^{i\xi} \cosh \zeta \\ &\quad \times \sinh 2(\zeta - \xi_0 - i\beta)] \quad (54) \end{aligned}$$

$$\begin{aligned} 2e^{i\alpha} \chi_z'' &= 2 \frac{\sinh \zeta}{\sinh \zeta} \frac{p}{\varphi \sin h^r \zeta} [e] = \frac{p}{\varphi \sinh \zeta \sinh \zeta} \frac{1}{\sinh \zeta} \\ &\quad \times \frac{1}{\sinh \zeta} [e] = \frac{p}{\cosh 2\xi - \cos 2\eta} [-2e^{i\xi} \cosh 2(\xi - \xi_0 - i\beta) \\ &\quad + \coth \zeta (\cosh 2\xi_0 - \cos 2\beta) \\ &\quad + e^{i\xi} \coth \zeta \sinh 2(\zeta - \xi_0 - i\beta)] \quad (55) \end{aligned}$$

جایی که $[e]$ مقدار داخل کروشهای معادله 54 است، با جایگزینی $\frac{\sinh 2\xi - i \sin 2\eta}{\cosh 2\xi - \cos 2\eta}$ در معادله 55 می توان معادله 56 را نوشت:

$$\begin{aligned} 2e^{i\alpha} \chi_z'' &= \frac{p}{(\cosh 2\xi - \cos 2\eta)^r} [-2e^{i\xi} (\cosh 2\xi \\ &\quad - \cos 2\eta) \cosh 2(\xi - \xi_0 - i\beta) + (\sinh 2\xi - i \sin 2\eta) \\ &\quad \times (\cosh 2\xi_0 - \cos 2\beta) + e^{i\xi} (\sinh 2\xi - i \sin 2\eta) \\ &\quad \times \sinh 2(\xi - \xi_0 - i\beta)] \quad (56) \end{aligned}$$

با استفاده از تساوی های معادله های 57 در معادله 56 ، مقدار نهایی آن مطابق

عوایضی های ξ ، η ، σ_ξ ، σ_η و $\tau_{\xi\eta}$ در اطراف توپل تحت میدان تنش یک محوری افقی می‌باشد. از آنکه میدان تنش یک محوری افقی باشد، می‌توان نتیجه کردن که $\sigma_\xi = \sigma_\eta$ است. بنابراین $\tau_{\xi\eta} = \tau_{\eta\xi}$ است. این نتیجه از مطالعات شاععی و برشی بر روی دیواری توپل صفر هست. همان‌طور که در شکل‌ها ملاحظه می‌شود، تنش‌های شاععی و محیطی برای عوایضی های مختلاف ثابت هستند و شعاع تأثیر مناسب برای میدان تنش مذکور برابر $1/25$ است.

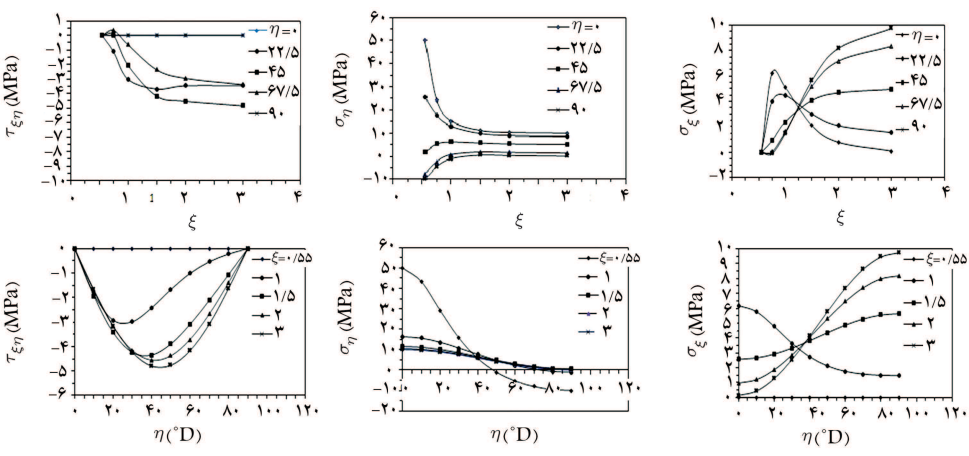
تنش محیطی σ_η به دست آمده در سطح توپل معادله $\sigma_\eta = 1/2$ با معادلات به دست آمده توسط استینیون و ماش خالیشوابی تطابق کامل دارد.^[۱۸] توسط فرمول سازی ارائه شده‌ی توزیع تنش در اطراف توپل بیضی شکل، تحت میدان تنش‌های برجای یک محوره‌ی افقی و عمودی و میدان تنش دو محوره، توسط 3 مثال تعیین شده است.

۳. مثال ۲

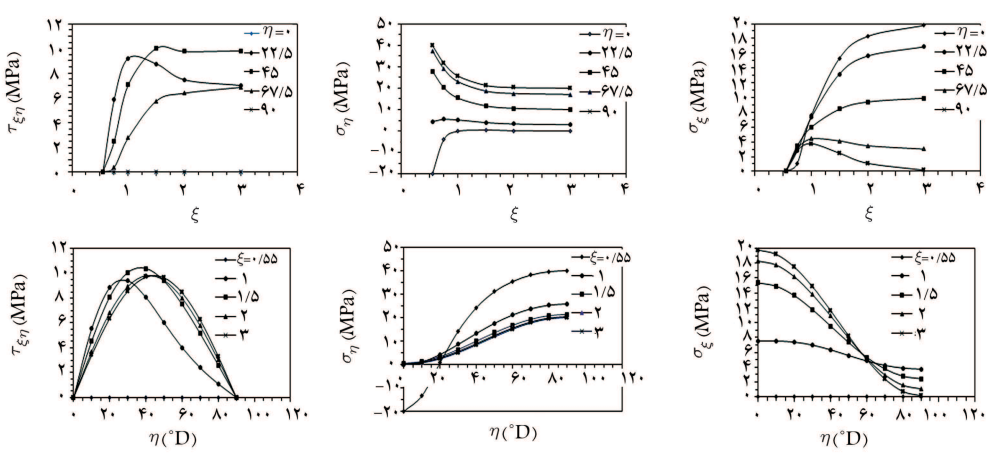
۴. مثال ۲

اگر توپل با مشخصات مثال ۱ تحت میدان تنش یک محوره‌ی افقی $\sigma_h = 20$ MPa و برشی $\tau_{\xi\eta}$ که توسط معادلات 56 به دست آمده‌اند، در شکل‌های 3 ، a و b مشاهده می‌شوند. تنش‌های مذکور در شکل‌های 3 ، a ، b و c نسبت به محور x و برای عوایضی های ثابت 0 ، $1/5$ ، $2/5$ ، $4/5$ و $9/5$ درجه رسم شده‌اند. همچنین در شکل‌های 3 ، d ، e و f نسبت به متغیر η (محور x) و برای

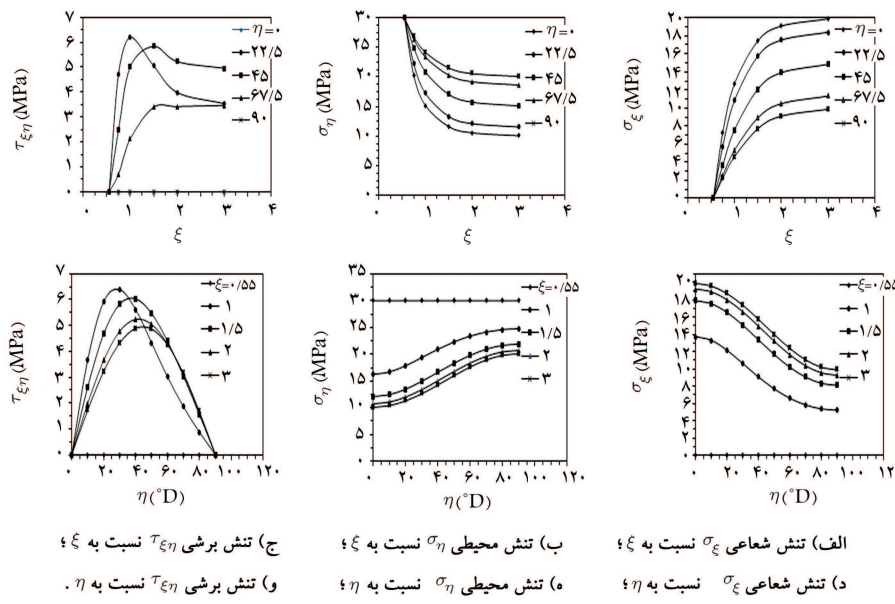
برای توپل بیضی شکل به ابعاد نیم قطرهای $c = \sqrt{3}m$ و $b = 1m$ ، $a = 2m$ تحت میدان تنش $\sigma_\eta = 10$ MPa نسبت های شاععی σ_ξ ، محیطی σ_η و برشی $\tau_{\xi\eta}$ که توسط معادلات 56 به دست آمده‌اند، در شکل‌های 3 ، a ، b و c نسبت به عوایضی ξ و برای η های 0 ، $1/5$ ، $2/5$ ، $4/5$ و $9/5$ درجه رسم شده‌اند.



شکل ۳. وضعیت تنش‌های شاععی σ_ξ ، محیطی σ_η و برشی $\tau_{\xi\eta}$ در اطراف توپل تحت میدان تنش یک محوری عمودی.



شکل ۴. وضعیت تنش‌های شاععی σ_ξ ، محیطی σ_η و برشی $\tau_{\xi\eta}$ در اطراف توپل تحت میدان تنش یک محوری افقی.



شکل ۵. وضعیت تنش‌های شعاعی σ_ξ ، محیطی σ_η و برشی $\tau_{\xi\eta}$ در اطراف تونل تحت میدان تنش دومحوری.

۶. نتایج و پیشنهادات

در پژوهش حاضر، روش تحلیلی براساس روش استیونسون، که برای تعیین وضعیت تنش اطراف تونل‌های بیضی‌شکل به کار می‌رود، بسط و ارائه شده است. نتایج نشان می‌دهد که فرمول سازی توانع پتانسیل مختلط به همراه نگاشت همدیس برای تونل‌های بیضی‌شکل، یک روش قدرتمند برای تعیین تمرکز تنش اطراف آن است. توده‌سنگ به صورت همگن، همسان‌گرد و کشسان در نظر گرفته شده است. تنش میدانی در وضعیت دومحوری یا صفحه‌بی قابل کاربرد در تنش مسطح و کرنش صفحه‌بی بوده است. نتایج نشان می‌دهد میزان تمرکز تنش و موقعیت آن در اطراف تونل به شدت به وضعیت تنش میدانی یا بر جا بستگی دارد. بنابراین دقیق نتایج، متأثر از دقت اندازه‌گیری و تخمین تنش‌های میدانی است. راه حل ارائه شده، قابل کاربرد در مراحل اولیه‌ی طراحی انواع تونل‌های بیضی شکل تحت تأثیر وضعیت‌های تنش بر جای گوناگون است و همچنین می‌تواند باستگی جهت تنش‌های اصلی بر جا را بر تمرکز تنش در پیرامون تونل نشان دهد.

تش‌های شعاعی در اطراف تونل برای $\eta = 55$ درجه و تنش‌های محیطی در $\eta = 25$ درجه ثابت هستند و آنها با حالت‌های مثال ۱ متفاوت هستند. در مثال کنونی، مشابه وضعیت مثال ۱، شعاع تأثیر به دست آمده برابر $1/25 = 4$ خواهد بود.

۵. مثال ۳

در مثال کنونی، وضعیت میدانی تنش بر جای دومحوره با تنش افقی محوری در شکل ۵، و تنش قائم $\sigma_h = 20 \text{ MPa}$ و تنش $\sigma_v = 10 \text{ MPa}$ است. سایر شرایط، مشابه دو مثال ۱ و ۲ است. تنش‌های شعاعی، محیطی و برشی برای وضعیت تنش‌های ذکر شده و در اطراف تونل در شکل‌های ۱ و ۲ مشاهده می‌شوند. در مثال کنونی، وضعیت تنش‌های شعاعی σ_ξ و محیطی σ_η متفاوت با دو مثال ۱ و ۲ است. تنش محیطی در تمام نقاط سطح تونل ثابت و مساوی است و تنش برشی بیشینه در $\eta = 3^\circ$ وجود دارد. با توجه به شکل‌های ۱ و ۲، می‌توان نتیجه گرفت که شعاع تأثیر مطلوب برای وضعیت تنش میدانی ذکر شده برابر $1/25 = 4$ و مشابه دو مثال ۱ و ۲ است.

منابع (References)

1. Malvern, L.F., *Introduction to the Mechanics of a Continuous Medium*, Englewood Cliffs, Prentice Hall (1969).
2. Terzaghi, K. and Richart, F.E. "Stress in rock about cavities", *Geotechnique*, 3(2), pp. 57-90 (1952).
3. Obert, L., Duvall, W.I. and Merrill, R.H., *Design of Underground Openings in Competent Rock*, US Bureau of Mines, Bulletin 587 (1960).
4. Brady, B.H.G. and Brown, E.T., *Rock Mechanics for Underground Mining*, 2nd Edition, Chapman & Hall, London, UK (1993).
5. Greenspan, M. "Effect of a small hole on the stresses in a uniformly loaded plate", *Q. J. Appl. Math.*, 2(1), pp. 60-71 (1944).
6. Hoek, E., Kaiser, P.K. and Bawden, W.F. *Support of Underground Excavations in Hard Rock*, Balkema, Rotterdam, Netherlands (1995).
7. Inglis, C.E. "Stresses in a plate due to the presence of

- cracks and sharp corners”, *Trans. Of the Inst. of Naval Arch.*, **55**, pp. 219-230 (1913).
8. Novozhilov, V.V., *Theory of Elasticity*, J.J Shor-Kon (trans.), S. Monson Jerusalem, Israel (1961).
 9. Exadaktylos, G.E., Loilios, P.A. and Stavropoulou, M. C. “A Semi-analytical elastic stress-displacement solution for notched circular opening in rocks”, *International Journal of Solids and Structures*, **40**(5), pp. 1165-1187 (2003).
 10. Verruijt, A. “A Complex variable solution for a deforming circular tunnel in an elastic half-plane”, *International Journal for Numerical and Analytical Methods in Geomechanics*, **21**(2), pp. 77-89 (1998).
 11. Verruijt, A. “Deformations of an elastic half plane with a circular cavity”, *International Journal of Solids and Structures*, **25**(3), pp. 213-233 (1997).
 12. Churchill, R.V., *Complex Variables and Applications*, 2nd Edition, McGraw-Hill Book Company, New York (1960).
 13. Timoshenko, S.P. and Goodier, J.N., *Theory of Elasticity*, 3rd Edition, McGraw-Hill Publishing Company, USA, pp. 181-194 (1982).
 14. Mindlin, R.D. “Stress distribution around a hole near the edge of plate under tension”, *Proceedings of the Society of Experimental Stress Analysis*, **5**, pp. 46-57 (1948).
 15. Sokolnikoff, I.S., *Mathematical Theory of Elasticity*, 2nd Edition, McGraw Hill, New York (1956).
 16. Muskhelishvili, N.I., *Some Basic Problems of the Mathematical Theory of Elasticity*, J.R.M. Radok (tans.), Noordhoff, Groningen Netherlands, pp. 339-352 (1953).
 17. England, A.H., *Complex Variable Methods in Elasticity*, Wiley-Interscience, London, UK, pp. 129-152 (1971).
 18. Stevenson, A.C., *Complex Potentials in Two-Dimensional Analysis*, Proc. of the Royal Society A, pp. 611-626 (1945).
 19. Savin, G.N., *Stress Concentration around Holes*, Pergamon Press, London, UK, pp. 91-107 (1961).
 20. Exadaktylos, G.E. and Stavropoulou, M.C. “A closed-form elastic solution for stresses and displacements around tunnels”, *International Journal of Rock Mechanics and Mining Sciences*, Pergamon, pp. 905-916 (2002).
 21. Jaeger, J.C. and Cook, N.G.W., *Fundamental of Rock Mechanics*, 1st Edition, Chapman and Hall LTD, USA, pp. 253-260 (1969).
 22. Li, S.C. and Wang, M.B. “Elastic analysis of stress-displacement field for a lined circular tunnel at great depth due to ground loads and internal pressure”, *Tunneling and Underground Space Technology*, **23**(6), pp. 609-617 (2008).
 23. Verruijt, A. “A complex variable solution for a deforming circular tunnel in an elastic half-plane”, *International journal for Numerical and Analytical Methods in Geomechanics*, **21**(2), pp. 79-89 (1997).
 24. Exadaktylos, G.E., Loilios, G.E. and Stavropoulou, M. C. “A semi analytical elastic stress-displacement solution for notched circular opening in rocks”, *International Journal of Solids and Structures*, **40**(5), pp. 1165-1187 (2003).
 25. Batista, M. “On the stress concentration around a hole in an infinite plate subject to a uniform load at infinity”, *International Journal of Mechanical Science*, **53**(4), pp. 254-261 (2011).
 26. Aslani, F. “Determination of stress deformation fields around circular tunnels using a new stress function and making a comparison between the proposed solution finite element and complex variable methods”, *8th International Conference of Civil Engineering*, University of Shiraz, Shiraz, Iran (2009).
 27. Gao, X.L. “A general solution of an infinite elastic plate with an elliptic hole under biaxial loading”, *Int. J. Ves. & Piping*, **67**(1), pp. 95-104 (1996).
 28. Park, K.H. and Kim, Y.J. “Analytical solution for a circular opening in an elastic-brittle plastic rock”, *International Journal of Rock Mechanics and Mining Sciences*, **43**(4), pp. 616-622 (2006).
 29. Sharan, S. “Exact and approximate solution for displacement around circular openings in elastic-brittle-plastic Hoek-Brown rock”, *International Journal of Rock Mechanics and Mining Sciences*, **42**, pp. 542-549 (2005).
 30. A. Kargar, R. Rahmannajad and M. Hajabbasi, “Determining the stress around circular tunnels with lining using complex variable functions”, *Modarres Journal of Engineering Mechanics*, **1**(15), PP. 267-276, (In Persian) (1394).
 31. A. Kargar, R. Rahmannajad and M. Hajabbasi, “Determining the stress around gas underground structures using complex variable functions and conformal mapping”, *3*(2), PP. 133-144, (In Persian) (1394).
 32. M. Alami, “The analytical stress solution around elliptical tunnels in shear stress domain using complex variable functions”, M. Sc. Dissertation, Yasouj university, (In Persian)(1392).
 33. Huo, H., Bobet, A., Fernandez, J. and Ramirez, J. “Analytical solution for deep rectangular structures subjected to far-field shear stresses”, *Tunneling and Underground Space Technology Journal*, Elsevier, **21**(6), pp. 613- 625 (2006).
 34. S. Amjadian, “The analytical stress solution around rectangular tunnels using complex variable method”, M. Sc. Dissertation, Yasouj university (In Persian).
 35. Gercek, H. “An elastic solution for stresses around tunnels with conventional shapes”, *Int. J. Rock Mech. & Min. Sci.*, **34**(3-4), p. 96, pp. 34-47 (1997).
 36. Kargar, A.R., Rahmannajad, R. and Hajabasi, M.A. “A semi-analytical elastic solution for stress field of lined non-circular tunnels at great depth using complex variable method”, *International Journal of Solids and Structures*, **51**(6), pp. 1475-1482 (2014).